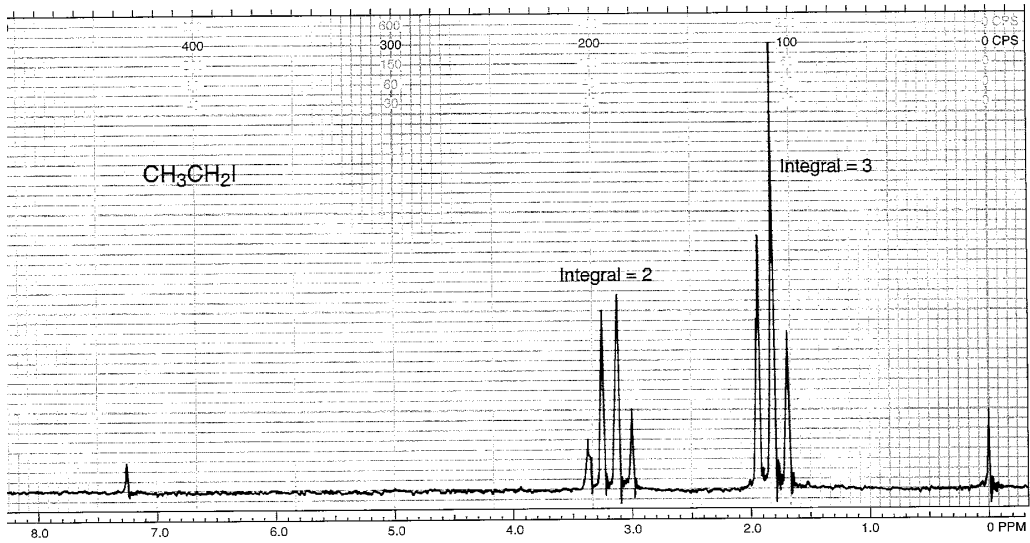
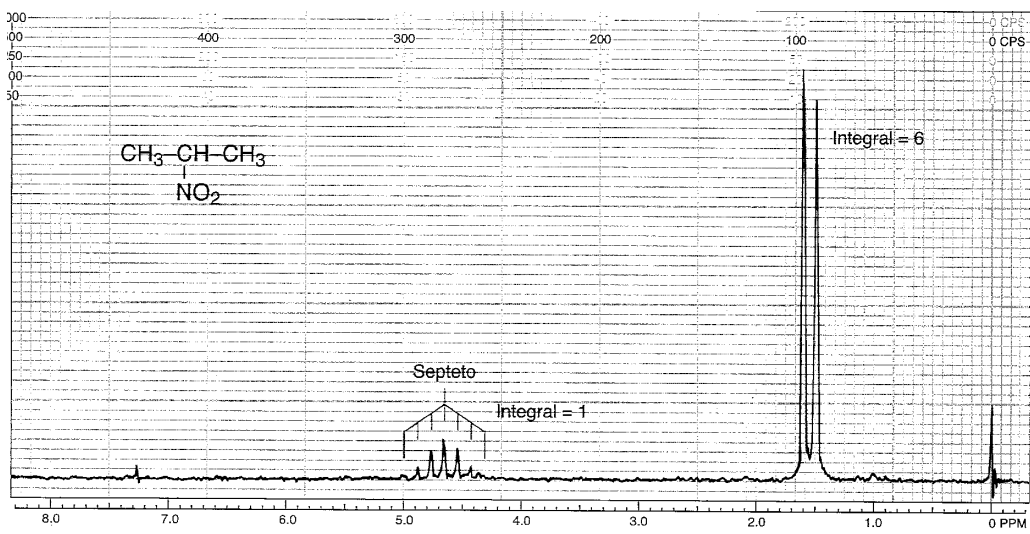


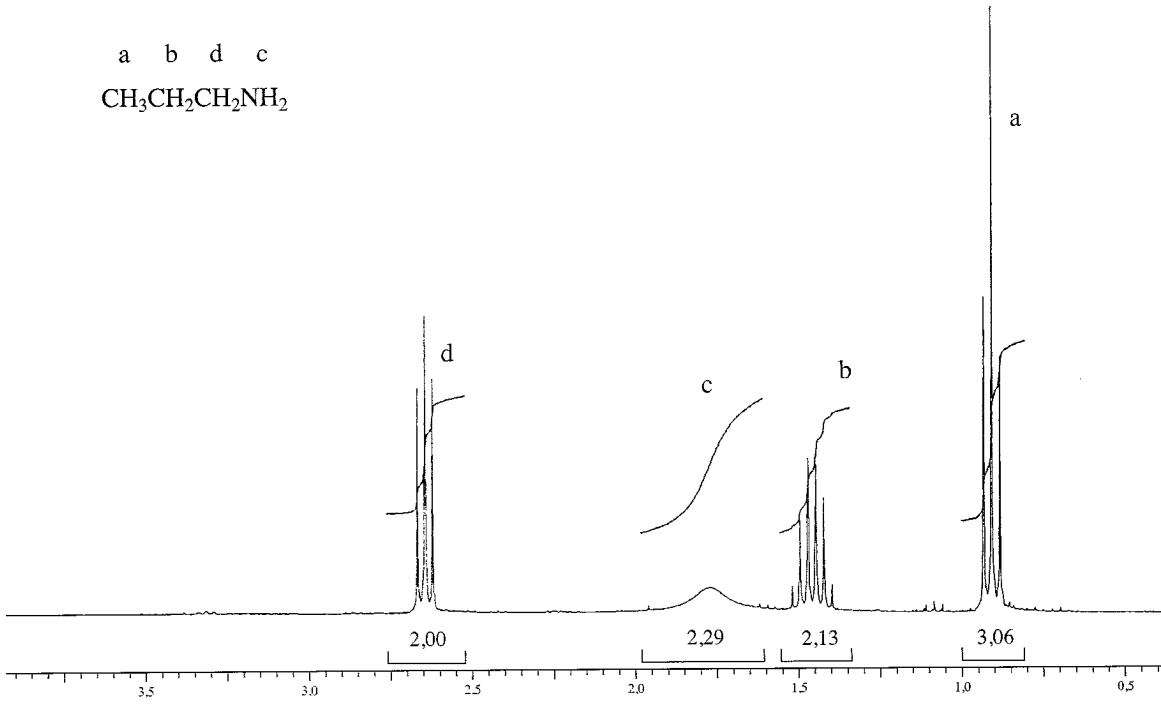
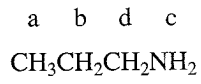
# ESPECTRO DE ALCANO SUBSTITUIDO



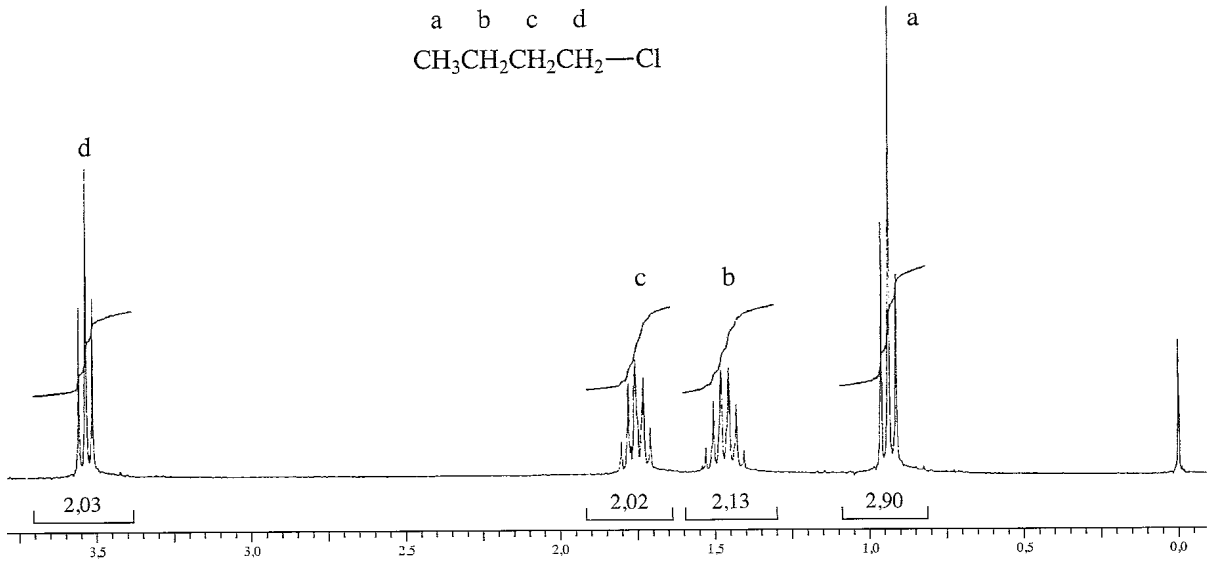
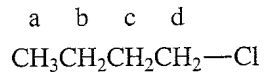
Espectro de  $^1\text{H}$  RMN do iodeto de etila (60 MHz).



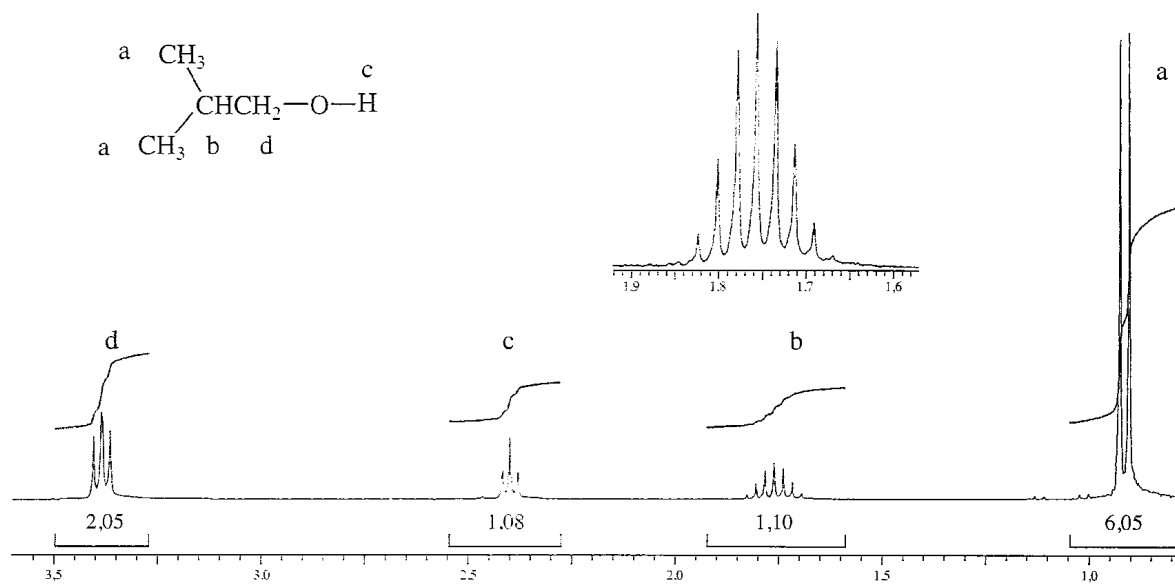
Espectro de  $^1\text{H}$  RMN do 2-nitropropano (60 MHz).



Espectro de  $^1\text{H}$  da propilamina.

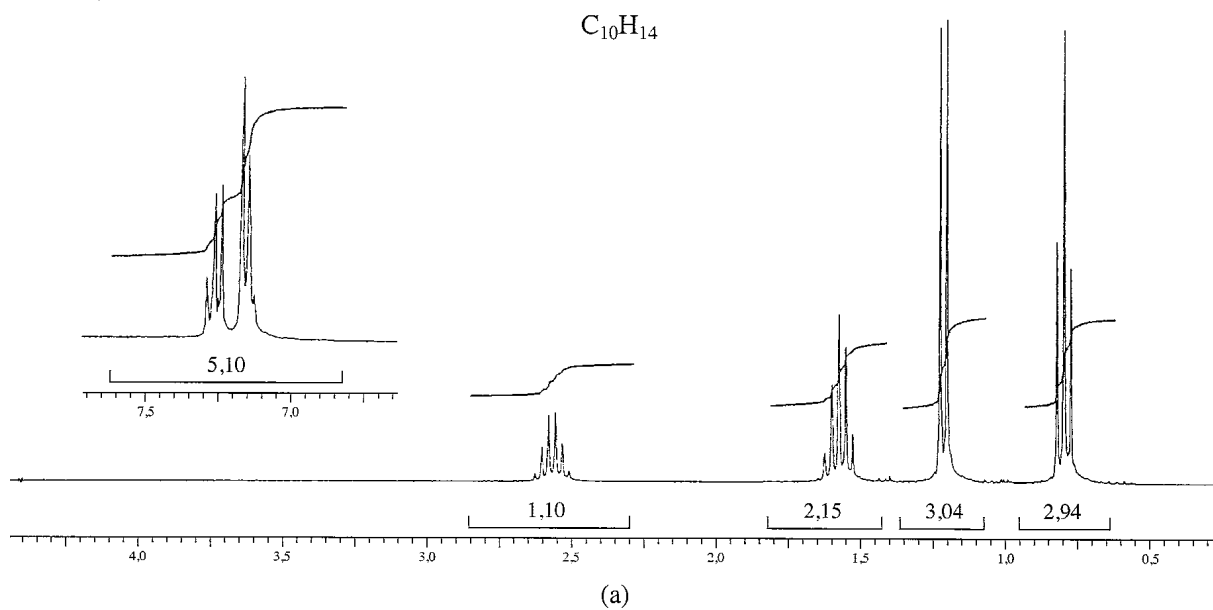


Espectro de  $^1\text{H}$  do 1-clorobutano.

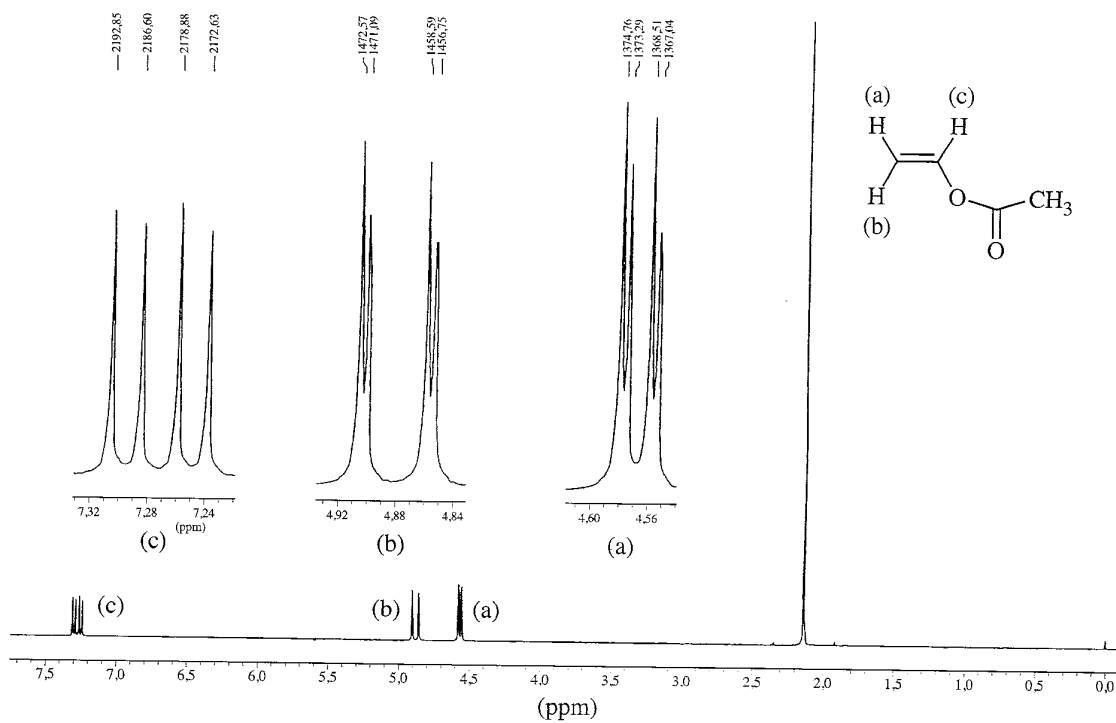
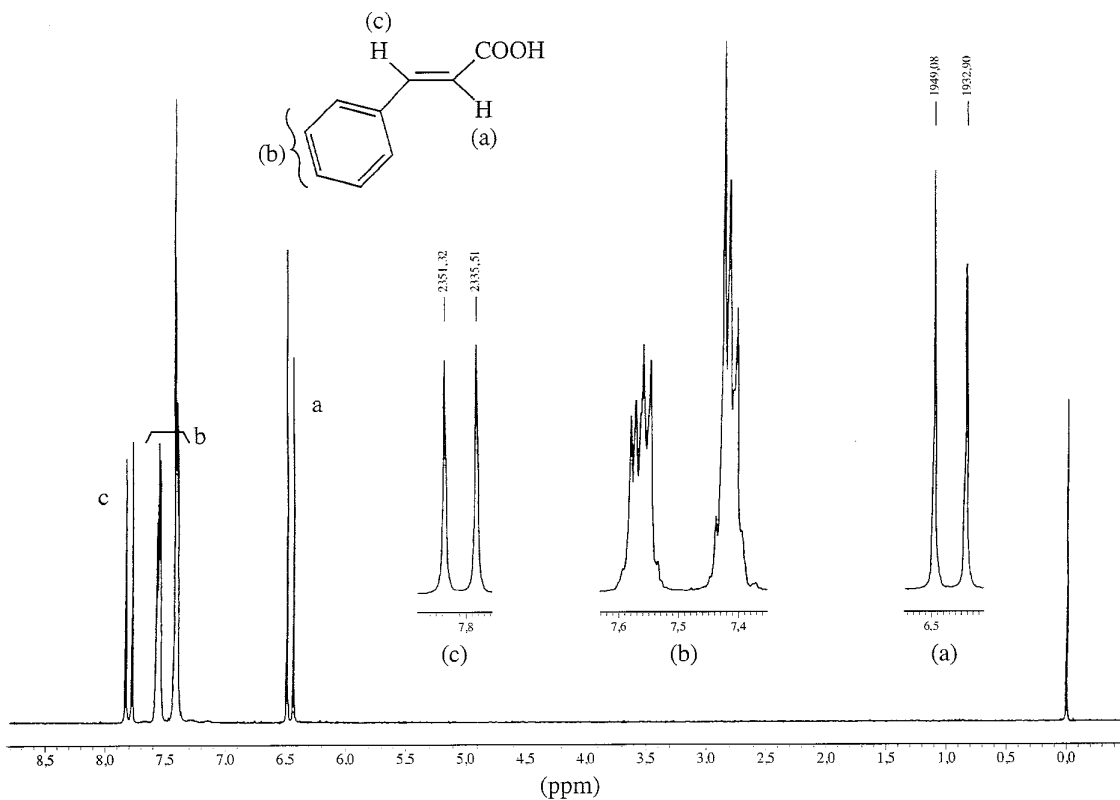


Espectro de próton do 2-metil-1-propanol.

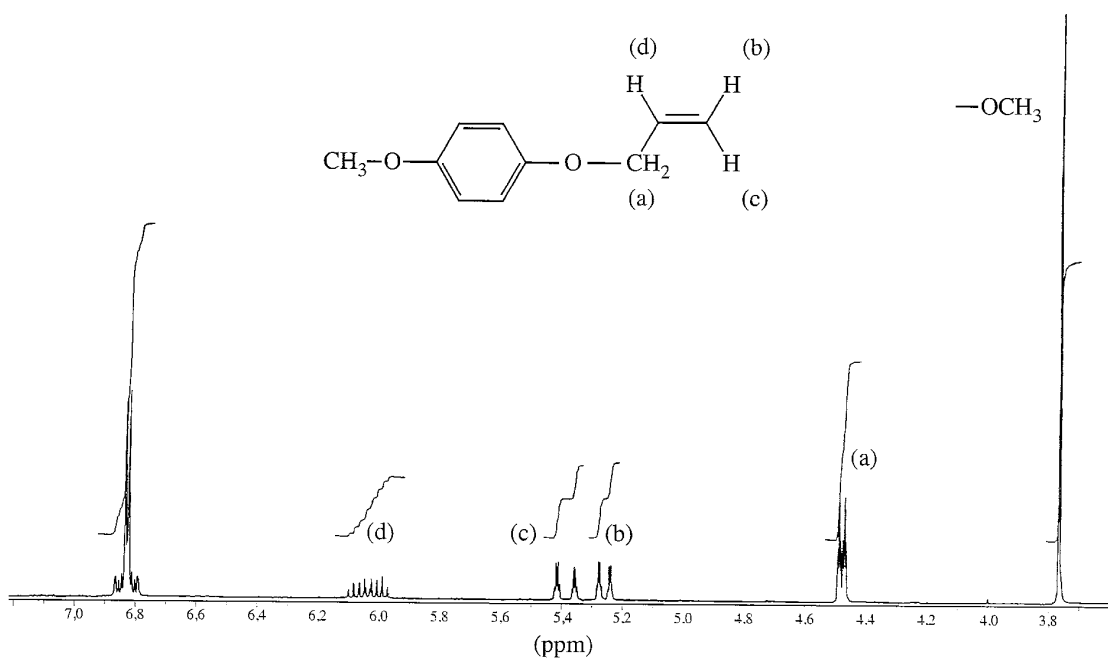
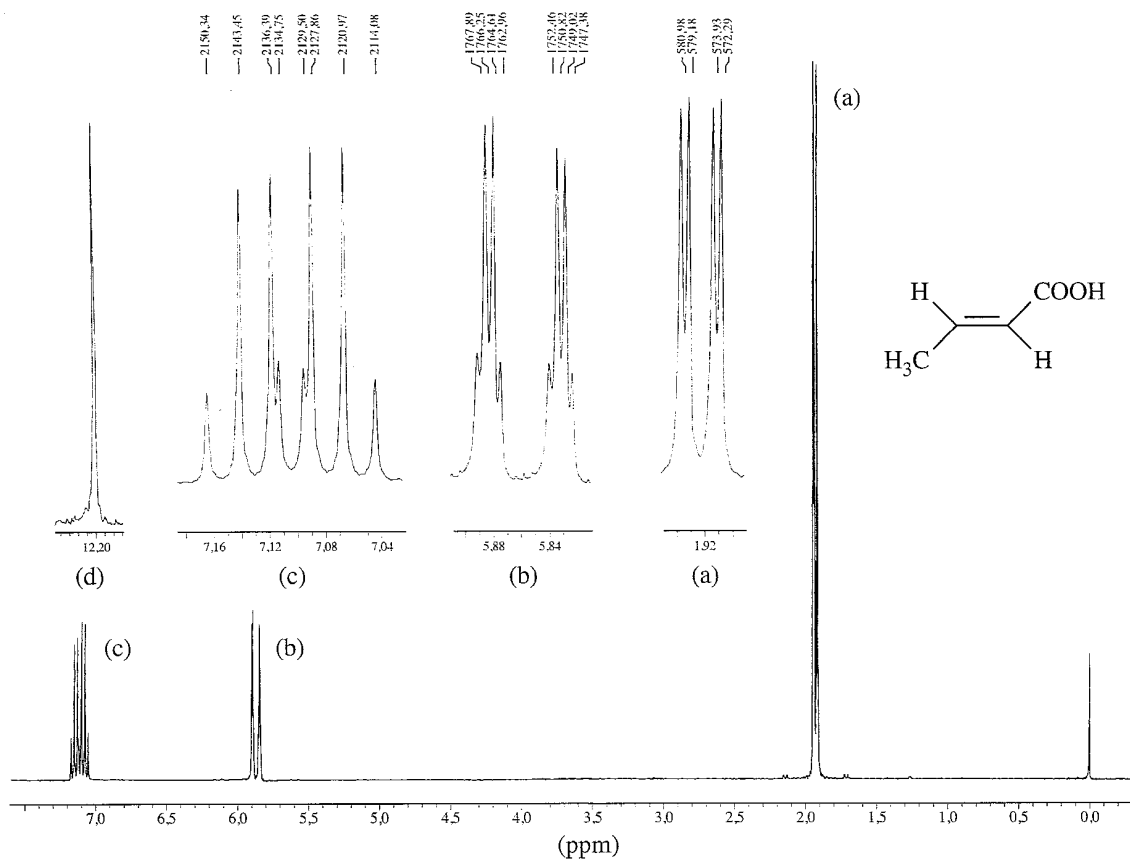
### Espectro do *sec*-butil benzeno



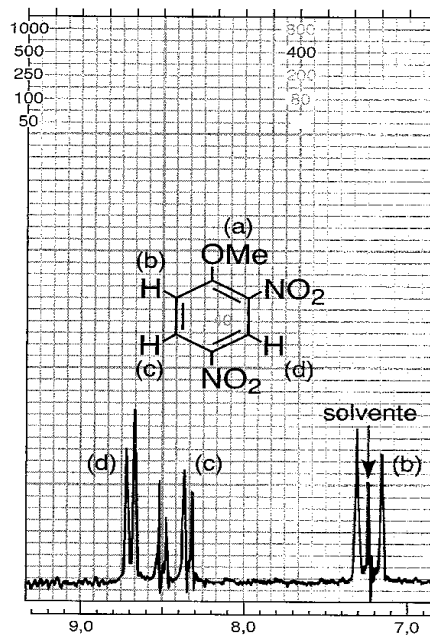
# PADRÕES ESPECTRAIS DE RMN DE ALCENOS



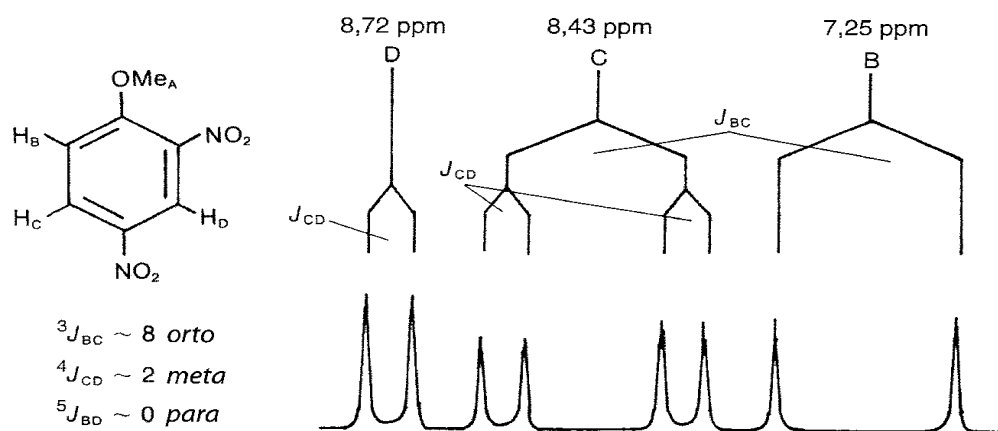
# PADRÕES ESPECTRAIS DE RMN DE ALCENOS



## PADRÃO ESPECTRAL DE BENZENOS SUBSTITUÍDOS

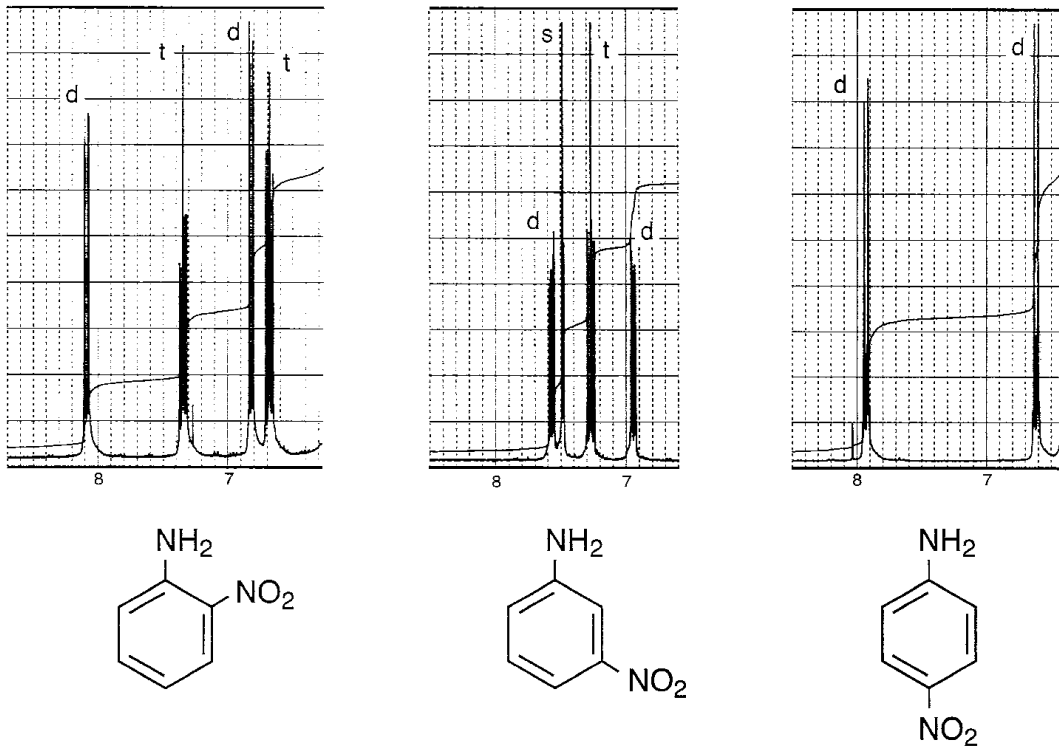


**FIGURA 5.61** Parte do anel aromático do espectro de RMN de  $^1\text{H}$  em 60 MHz do 2,4-dinitroanisol.

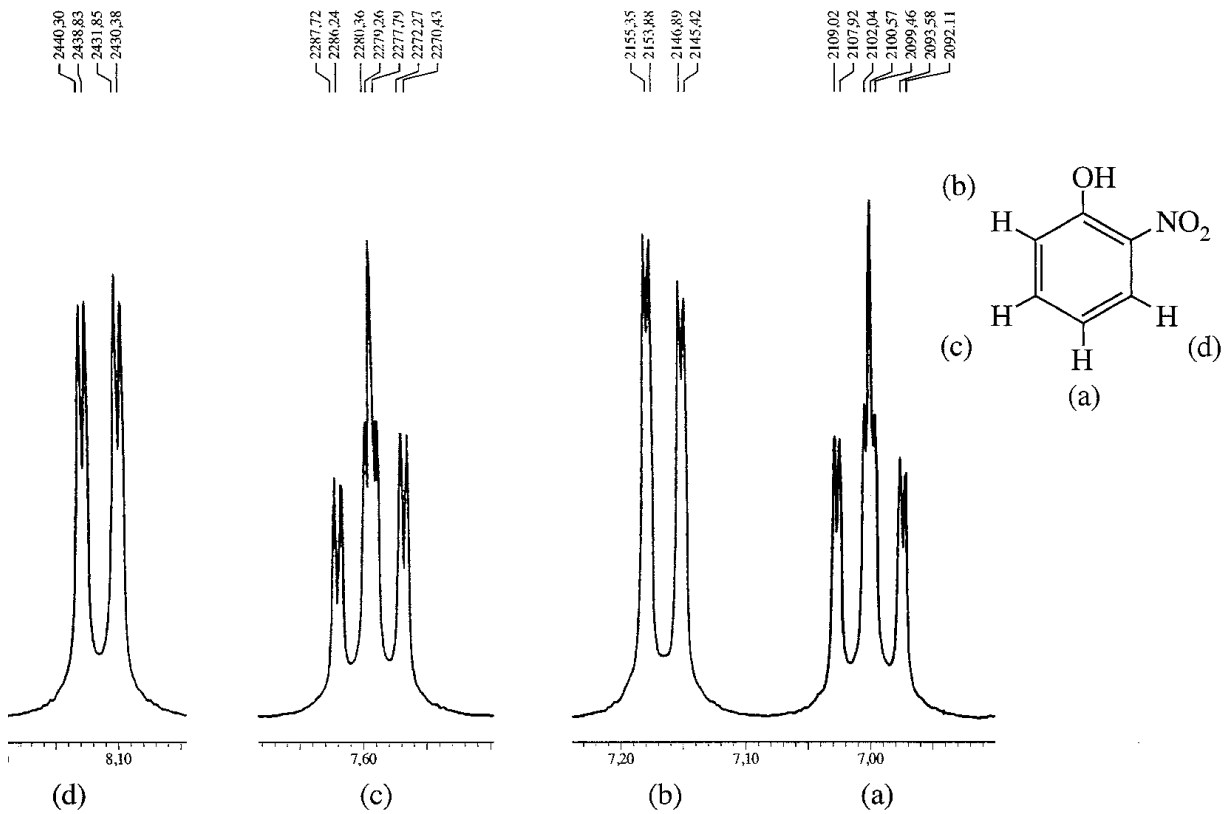


**FIGURA 5.62** Análise do padrão de separação no espectro de RMN de  $^1\text{H}$  em 60 MHz do 2,4-dinitroanisol.

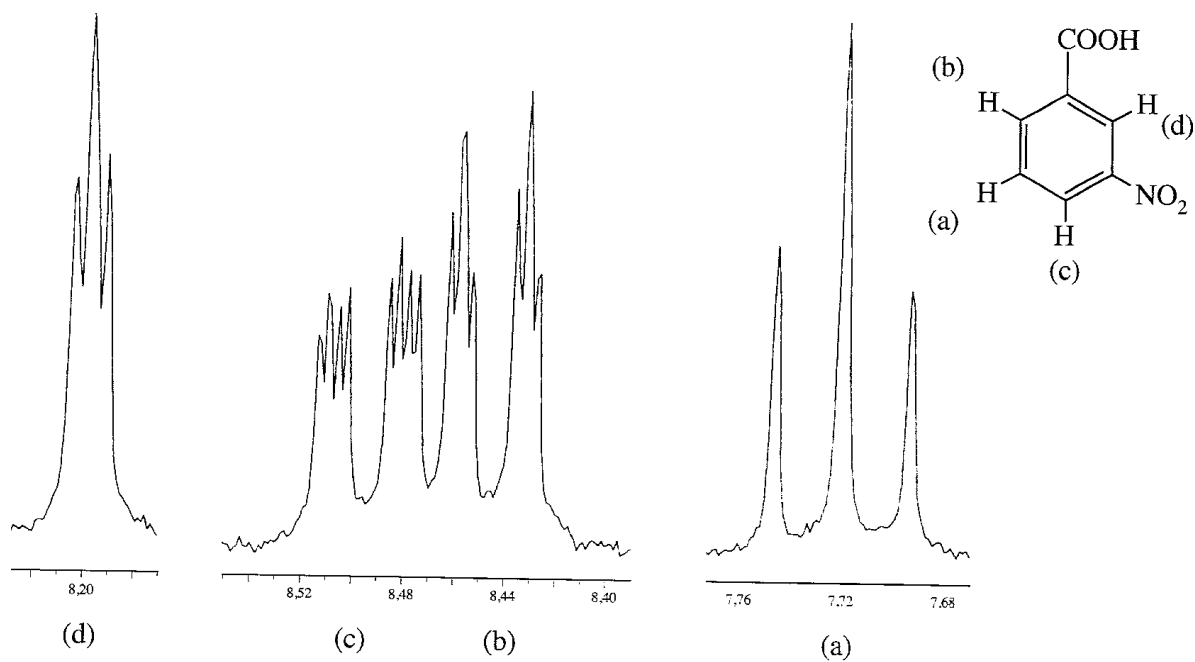
## PADRÃO ESPECTRAL DE BENZENOS SUBSTITUÍDOS



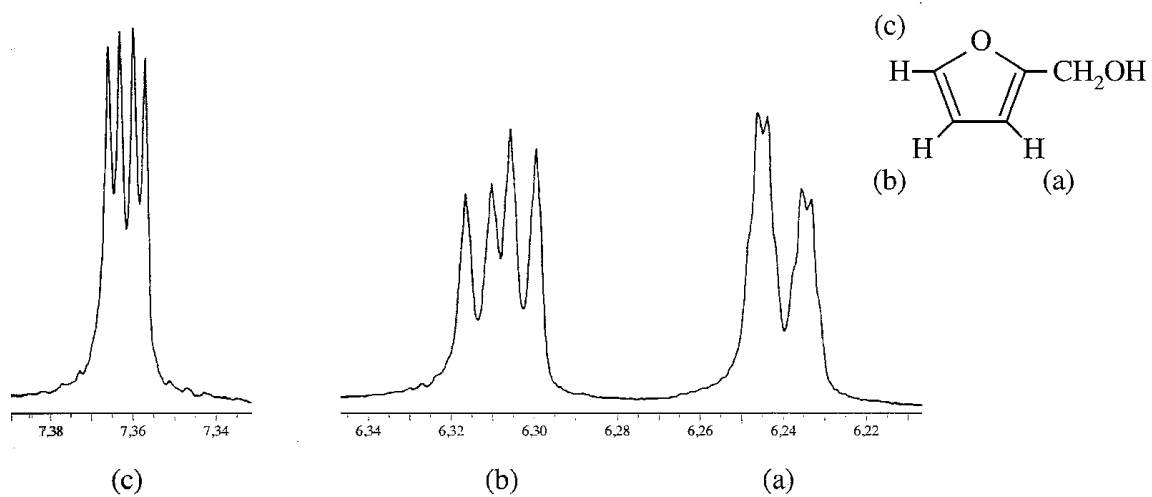
Espectros de RMN de  $^1\text{H}$  em 300 MHz das partes do anel aromático da 2-, 3- e 4-nitroanilina.



## PADRÃO ESPECTRAL DE BENZENOS SUBSTITUÍDOS



## PADRÃO ESPECTRAL DE FURANOS SUBSTITUÍDOS





# PADRÃO ESPECTRAL DE PIRIDINAS SUBSTITUÍDAS

